

HHL 算法详细求解过程

王心锐

2025 年 8 月 25 日

1 概述

HHL 算法用于求解线性方程组 $A\vec{x} = \vec{b}$ ，其中 A 为 $N_b \times N_b$ 厄米矩阵， \vec{x} 和 \vec{b} 为 N_b 维向量，其解可表示为 $\vec{x} = A^{-1}\vec{b}$ ，其中 $N_b = 2^{n_b}$ 。该算法通过量子态的振幅编码和演化，实现了相比经典方法的指数级加速，是量子计算中解决线性系统问题的核心算法之一。

算法中向量 \vec{b} 和 \vec{x} 的 N_b 个分量通过振幅编码 (amplitude encoding)，由 n_b 个量子比特 (构成 \mathbb{C}^{N_b} 希尔伯特空间，记为 b-register) 进行编码， n_b 需足够大以完整编码 \vec{b} 。矩阵 A 则通过哈密顿量编码 (Hamiltonian encoding) 模拟实现。

HHL 算法主要包含五大核心模块：状态制备 (state preparation)、量子相位估计 (quantum phase estimation, QPE)、辅助比特旋转 (ancilla bit rotation)、逆量子相位估计 (inverse quantum phase estimation, IQPE) 及测量 (measurement)。除 n_b 个用于编码 \vec{b} 振幅及最终存储 \vec{x} 结果振幅的量子比特外，算法还需 1 个辅助量子比特 $| \rangle_a$ 与 n 个时钟量子比特 (clock qubits，记为 c-register)。辅助量子比特虽最终会被舍弃，但对算法目标实现至关重要；时钟量子比特用于存储矩阵 A 编码后的特征值，且 n 越大 (对应 $N = 2^n$)，在编码非精确场景下算法结果精度越高。

作为哈密顿量的矩阵 A ，可在其本征向量基下展开为线性组合形式。由于 A 是哈密顿量，它可表示为其本征向量 $|u_i\rangle$ 按本征值 λ_i 加权的线性组合，即：

$$A = \sum_{i=0}^{2^{n_b}-1} \lambda_i |u_i\rangle \langle u_i|$$

其中， n_b 为与编码相关的量子比特数，对应构建的希尔伯特空间维度为 2^{n_b} 。鉴于 A 在其本征向量基下是对角矩阵，其逆矩阵 A^{-1} 可简便表示为：

$$A^{-1} = \sum_{i=0}^{2^{n_b}-1} \lambda_i^{-1} |u_i\rangle \langle u_i|$$

同时，向量 \vec{b} 也能在 A 的本征向量基下展开，形式为：

$$|b\rangle = \sum_{j=0}^{2^{n_b}-1} b_j |u_j\rangle$$

基于上述展开，结合 $\langle u_i | u_j \rangle = \delta_{ij}$ (δ_{ij} 为克罗内克函数， $i = j$ 时为 1，否则为 0) 这一性质，原线性方程组可编码为量子态形式。最终，解 $|x\rangle$ 满足：

$$|x\rangle = A^{-1}|b\rangle = \sum_{i=0}^{2^{n_b}-1} \lambda_i^{-1} b_i |u_i\rangle$$

HHL 算法的目标便是以这种形式求解，且解 $|x\rangle$ 存储于 b-register 中。

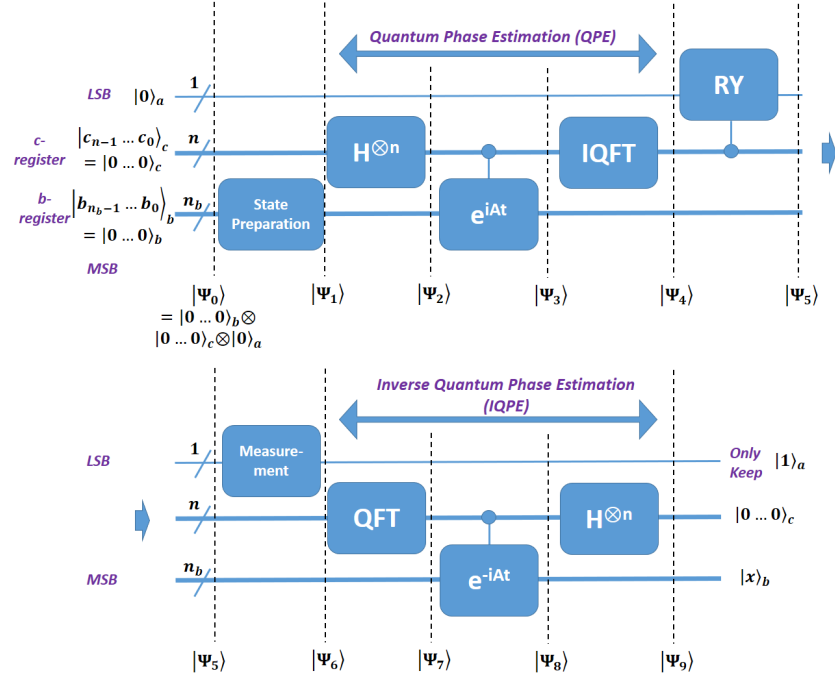


图 1: HHL 量子电路从左到右的结构示意图。根据小端字序约定，图中最低的量子位是最高有效位 (MSB)，而最上方的则是最低有效位 (LSB)。

2 算法核心步骤

2.1 状态制备

初始时，系统包含 $n_b + n + 1$ 个量子比特 (n_b 个用于编码向量的 b 寄存器、 n 个时钟量子比特的 c 寄存器、1 个辅助量子比特)，初始状态为：

$$|\Psi_0\rangle = |0 \cdots 0\rangle_b |0 \cdots 0\rangle_c |0\rangle_a = |0\rangle^{\otimes n_b} |0\rangle^{\otimes n} |0\rangle$$

在状态制备过程中， b -寄存器中的 $|0 \cdots 0\rangle_b$ 需要通过旋转操作，使其振幅与向量 \vec{b} 的系数一一对应。

$$\vec{b} = \begin{pmatrix} \beta_0 \\ \beta_1 \\ \vdots \\ \beta_{N_b-1} \end{pmatrix} \Leftrightarrow \beta_0 |0\rangle + \beta_1 |1\rangle + \cdots + \beta_{N_b-1} |N_b - 1\rangle = |b\rangle = \sum_{j=0}^{N_b-1} \beta_j |j\rangle$$

左侧的 \vec{b} 以列向量形式呈现，其中 β_i 是列向量的系数，这也是量子态 $|b\rangle$ 的有效表示；右侧则显式写出了由 n_b 个量子比特张成的希尔伯特空间的对应基矢展开形式。因此，状态制备完成后，系统量子态演化为：

$$|\Psi_1\rangle = |b\rangle_b |0 \cdots 0\rangle_c |0\rangle_a = |b\rangle \otimes |0\rangle^{\otimes n} \otimes |0\rangle_a$$

2.2 量子相位估计 (QPE)

量子相位估计 (QPE) 也是一种特征值估计算法。QPE 包含三个部分，即通过哈达玛门实现时钟量子比特的叠加、受控旋转以及逆量子傅里叶变换 (IQFT)。

2.2.1 时钟量子比特叠加

在创建时钟量子比特叠加的第一步中，对时钟量子比特应用哈达玛门，得到：

$$\begin{aligned} |\Psi_2\rangle &= I^{\otimes n_b} \otimes H^{\otimes n} \otimes I |\Psi_1\rangle \\ &= |b\rangle \frac{1}{2^{\frac{n}{2}}} (|0\rangle + |1\rangle)^{\otimes n} |0\rangle \end{aligned}$$

2.2.2 受控旋转

在受控旋转部分，将 U 应用于 $|b\rangle$ ，其中时钟量子比特作为控制量子比特 (图 2)。为简单起见，我们首先假设 $|b\rangle$ 是 U 的特征向量，其特征值为 $e^{2\pi i\phi}$ 。因此：

$$U|b\rangle = e^{2\pi i\phi}|b\rangle$$

当控制时钟量子比特为 0 时， $|b\rangle$ 不会受到影响。如果时钟比特为 1，则将 U 应用于 $|b\rangle$ 。这相当于

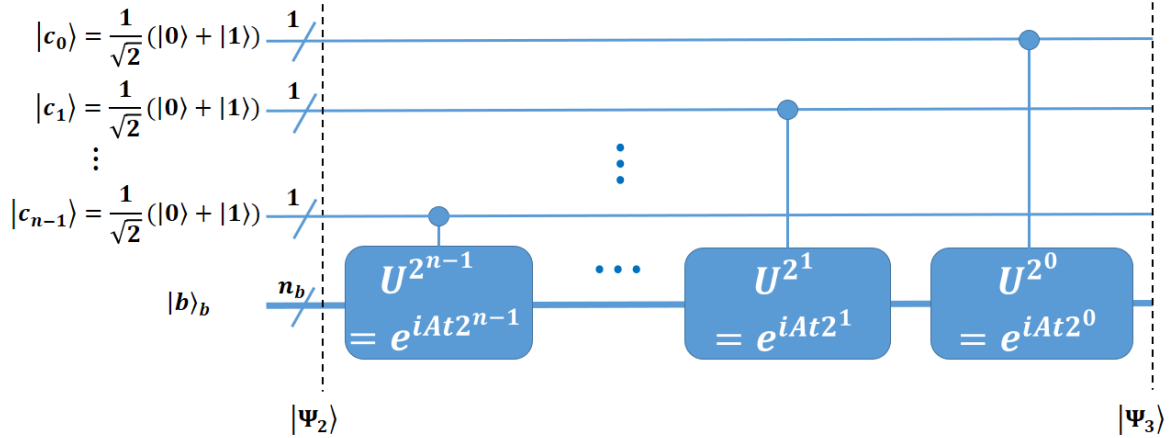


图 2: QPE 的受控旋转部分。在 HHL 算法中， U 由 e^{iAt} 取代。

在第 j 个时钟量子比特的 1 前面乘以 $e^{2\pi i\phi 2^j}$ 。因此，在受控 U 操作之后，我们有：

$$\begin{aligned} |\Psi_3\rangle &= |b\rangle \otimes \left(\frac{1}{2^{\frac{n}{2}}} (|0\rangle + e^{2\pi i\phi 2^{n-1}} |1\rangle) \otimes \cdots \otimes (|0\rangle + e^{2\pi i\phi 2^0} |1\rangle) \right) \otimes |0\rangle_a \\ &= |b\rangle \frac{1}{2^{\frac{n}{2}}} \sum_{k=0}^{2^n-1} e^{2\pi i\phi k} |k\rangle |0\rangle_a \end{aligned}$$

2.2.3 逆量子傅里叶变换 (IQFT)

在 IQFT 部分，只有时钟量子比特受到影响。注意，在某些文献中，这被称为量子傅里叶变换 (QFT)。

$$\begin{aligned}
|\Psi_4\rangle &= |b\rangle IQFT \left(\frac{1}{2^{\frac{n}{2}}} \sum_{k=0}^{2^n-1} e^{2\pi i \phi k} |k\rangle \right) |0\rangle_a \\
&= |b\rangle \frac{1}{2^{\frac{n}{2}}} \sum_{k=0}^{2^n-1} e^{2\pi i \phi k} (IQFT|k\rangle) |0\rangle_a \\
&= |b\rangle \frac{1}{2^n} \sum_{k=0}^{2^n-1} e^{2\pi i \phi k} \left(\sum_{y=0}^{2^n-1} e^{-2\pi i y k / N} |y\rangle \right) |0\rangle_a \\
&= \frac{1}{2^n} |b\rangle \sum_{y=0}^{2^n-1} \sum_{k=0}^{2^n-1} e^{2\pi i k(\phi - y/N)} |y\rangle |0\rangle_a
\end{aligned}$$

由于干涉，只有满足 $\phi - y/N = 0$ 的 $|y\rangle$ 会有 $\sum_{k=0}^{2^n-1} e^0 = 2^n$ 的有限振幅。否则，由于相消干涉，振幅为 $\sum_{k=0}^{2^n-1} e^{2\pi i k(\phi - y/N)} = 0$ 。忽略振幅为零的状态，我们可以将 $|\Psi_4\rangle$ 重写为：

$$|\Psi_4\rangle = |b\rangle |N\phi\rangle |0\rangle_a$$

因此，在 QPE 中，时钟量子比特用于表示 U 的相位信息 ϕ ，其精度取决于量子比特的数量 n 。在哈密顿量编码中， U 与 A 的关系为：

$$U = e^{iAt}$$

其中 t 是该哈密顿量的演化时间。显然， U 在 A 的特征向量 $|u_i\rangle$ 基下是对角的。

如果 $|b\rangle = |u_j\rangle$ ，则：

$$U|b\rangle = e^{i\lambda_j t} |u_j\rangle$$

通过将式 $U|b\rangle = e^{2\pi i \phi} |b\rangle$ 中的 $2\pi i \phi$ 等同于 $i\lambda_j t$ ，我们得到 $\phi = \lambda_j t / (2\pi)$ ，则 $|\Psi_4\rangle$ 变为：

$$|\Psi_4\rangle = |u_j\rangle |N\lambda_j t / 2\pi\rangle |0\rangle_a$$

这样， A 的特征值就被编码到了时钟量子比特中（基编码）。

然而，一般来说， $|b\rangle = \sum_{j=0}^{2^{n_b}-1} b_j |u_j\rangle$ ，利用叠加原理，有：

$$|\Psi_4\rangle = \sum_{j=0}^{2^{n_b}-1} b_j |u_j\rangle |N\lambda_j t / 2\pi\rangle |0\rangle_a$$

λ_j 通常不是整数。我们会选择 t ，使得 $\tilde{\lambda}_j = N\lambda_j t / (2\pi)$ 为整数。因此，编码值 $\tilde{\lambda}_j$ 可以与 λ_j 不同。 Ψ_4 可以重写为：

$$|\Psi_4\rangle = \sum_{j=0}^{2^{n_b}-1} b_j |u_j\rangle |\tilde{\lambda}_j\rangle |0\rangle_a$$

2.3 辅助量子比特的受控旋转与测量

下一步是基于时钟寄存器 (c-register) 中编码的特征值旋转辅助量子比特 $|0\rangle_a$ ，旋转后的态为：

$$|\Psi_5\rangle = \sum_{j=0}^{2^{n_b}-1} b_j |u_j\rangle |\tilde{\lambda}_j\rangle \left(\sqrt{1 - \frac{C^2}{\tilde{\lambda}_j^2}} |0\rangle_a + \frac{C}{\tilde{\lambda}_j} |1\rangle_a \right)$$

其中 C 为常数。对辅助量子比特进行测量时，其波函数会坍缩到 $|0\rangle$ 或 $|1\rangle$ 。若坍缩到 $|0\rangle$ ，则结果会被丢弃，需重复计算直至测量结果为 $|1\rangle$ 。因此，我们关注的最终波函数为：

$$|\Psi_6\rangle = \frac{1}{\sqrt{\sum_{j=0}^{2^{n_b}-1} \left| \frac{b_j C}{\tilde{\lambda}_j} \right|^2}} \sum_{j=0}^{2^{n_b}-1} b_j |u_j\rangle \frac{C}{\tilde{\lambda}_j} |1\rangle_a$$

式中的归一化因子源于测量后的归一化处理。由于 $\left| \frac{C}{\tilde{\lambda}_j} \right|^2$ 是测量到 $|1\rangle$ 的概率，因此 C 应尽可能取大值。与式 $|x\rangle = A^{-1}|b\rangle = \sum_{i=0}^{2^{n_b}-1} \lambda_i^{-1} b_i |u_i\rangle$ 对比可知，上述结果与目标解 $|x\rangle$ 类似，但它与时钟寄存器 $|\tilde{\lambda}_j\rangle$ 存在纠缠，即无法将结果分解为时钟寄存器与 b 寄存器的张量积。因此，我们需要通过反计算（uncomputation）来消除这种纠缠。

测量通常可在反计算后进行，但由于辅助量子比特在受控旋转后不再参与任何操作，因此在反计算前测量辅助量子比特会得到相同的结果。为简化推导，此处选择在反计算前进行测量。

2.4 反计算——逆量子相位估计 (IQPE)

首先，对时钟寄存器应用量子傅里叶变换 (QFT)：

$$\begin{aligned} |\Psi_7\rangle &= \frac{1}{\sqrt{\sum_{j=0}^{2^{n_b}-1} \left| \frac{b_j C}{\tilde{\lambda}_j} \right|^2}} \sum_{j=0}^{2^{n_b}-1} \frac{b_j C}{\tilde{\lambda}_j} |u_j\rangle \text{QFT} |\tilde{\lambda}_j\rangle |1\rangle_a \\ &= \frac{1}{\sqrt{\sum_{j=0}^{2^{n_b}-1} \left| \frac{b_j C}{\tilde{\lambda}_j} \right|^2}} \sum_{j=0}^{2^{n_b}-1} \frac{b_j C}{\tilde{\lambda}_j} |u_j\rangle \left(\frac{1}{2^{n/2}} \sum_{y=0}^{2^n-1} e^{2\pi i y \tilde{\lambda}_j / N} |y\rangle \right) |1\rangle_a \end{aligned}$$

随后，通过时钟寄存器对 b 寄存器应用逆受控旋转，其中 $U^{-1} = e^{-iAt}$ 。与正向过程类似，当时钟量子比特为 0 时， $|u_j\rangle$ 不受影响；当时钟量子比特为 1 时， U^{-1} 会作用于 $|u_j\rangle$ ，这等价于在第 i 个时钟比特的 $|1\rangle$ 前乘以 $e^{-i\lambda_j t 2^i}$ 。因此：

$$|\Psi_8\rangle = \frac{1}{2^{n/2} \sqrt{\sum_{j=0}^{2^{n_b}-1} \left| \frac{b_j C}{\tilde{\lambda}_j} \right|^2}} \sum_{j=0}^{2^{n_b}-1} \frac{b_j C}{\tilde{\lambda}_j} |u_j\rangle \left(\sum_{y=0}^{2^n-1} e^{-i\lambda_j t y} e^{2\pi i y \tilde{\lambda}_j / N} |y\rangle \right) |1\rangle_a$$

由于我们已设置 $\tilde{\lambda}_j = N\lambda_j t / 2\pi$ ，因此两个指数项会相互抵消：

$$\begin{aligned} |\Psi_8\rangle &= \frac{1}{2^{n/2} \sqrt{\sum_{j=0}^{2^{n_b}-1} \left| \frac{b_j C}{\tilde{\lambda}_j} \right|^2}} \sum_{j=0}^{2^{n_b}-1} \frac{b_j C}{\tilde{\lambda}_j} |u_j\rangle \sum_{y=0}^{2^n-1} |y\rangle |1\rangle_a \\ &= \frac{C}{2^{n/2} \sqrt{\sum_{j=0}^{2^{n_b}-1} \left| \frac{b_j C}{\tilde{\lambda}_j} \right|^2}} |x\rangle \sum_{y=0}^{2^n-1} |y\rangle |1\rangle_a \end{aligned}$$

此时，时钟寄存器与 b 寄存器已解纠缠，且 b 寄存器中存储了 $|x\rangle$ 。最后，对时钟寄存器应用 Hadamard 门。对于多比特 $H^{\otimes n}$ (n 个 H 门的张量积)，其厄米共轭满足： $H^{\otimes n \dagger} = H^{\dagger \otimes n} = H^{\otimes n}$ 且多比特么正性为： $H^{\otimes n \dagger} H^{\otimes n} = I^{\otimes n}$ 这保证了多比特态经过 $H^{\otimes n}$ 操作后，内积运算仍满足正交性和归一性。

$$\begin{aligned}
|\Psi_9\rangle &= \frac{1}{\sqrt{\sum_{j=0}^{2^{n_b}-1} \left| \frac{b_j C}{\lambda_j} \right|^2}} \sum_{j=0}^{2^{n_b}-1} \frac{b_j C}{\lambda_j} |u_j\rangle |0\rangle^{\otimes n} |1\rangle_a \\
&= \frac{1}{\sqrt{\sum_{j=0}^{2^{n_b}-1} \left| \frac{b_j}{\lambda_j} \right|^2}} |x\rangle_b |0\rangle_c^{\otimes n} |1\rangle_a
\end{aligned}$$

2.5 H 门作用于多比特全 0 寄存器的计算过程

2.5.1 单比特情况

首先考虑单比特情况，H 门的定义为：

$$H|0\rangle = \frac{|0\rangle + |1\rangle}{\sqrt{2}}$$

$$H|1\rangle = \frac{|0\rangle - |1\rangle}{\sqrt{2}}$$

当 H 门作用于 $|0\rangle$ 时：

$$H|0\rangle = \frac{|0\rangle + |1\rangle}{\sqrt{2}}$$

再将 H 门作用于上述结果：

$$\begin{aligned}
H(H|0\rangle) &= H\left(\frac{|0\rangle + |1\rangle}{\sqrt{2}}\right) \\
&= \frac{1}{\sqrt{2}} (H|0\rangle + H|1\rangle) \\
&= \frac{1}{\sqrt{2}} \left(\frac{|0\rangle + |1\rangle}{\sqrt{2}} + \frac{|0\rangle - |1\rangle}{\sqrt{2}} \right) \\
&= \frac{1}{\sqrt{2}} \cdot \frac{2|0\rangle}{2} = |0\rangle
\end{aligned}$$

可见，对单比特 $|0\rangle$ 连续作用两次 H 门，结果回到 $|0\rangle$ 。

2.5.2 多比特情况

考虑 n 个比特的全 0 寄存器：

$$|0\rangle^{\otimes n} = |0\rangle \otimes |0\rangle \otimes \cdots \otimes |0\rangle \quad (n\text{次张量积})$$

多比特 H 门操作为单比特 H 门的张量积：

$$H^{\otimes n} = H \otimes H \otimes \cdots \otimes H \quad (n\text{次张量积})$$

第一次应用 $H^{\otimes n}$ ：

$$\begin{aligned}
H^{\otimes n}|0\rangle^{\otimes n} &= (H \otimes H \otimes \cdots \otimes H)(|0\rangle \otimes |0\rangle \otimes \cdots \otimes |0\rangle) \\
&= H|0\rangle \otimes H|0\rangle \otimes \cdots \otimes H|0\rangle \\
&= \left(\frac{|0\rangle + |1\rangle}{\sqrt{2}} \right) \otimes \left(\frac{|0\rangle + |1\rangle}{\sqrt{2}} \right) \otimes \cdots \otimes \left(\frac{|0\rangle + |1\rangle}{\sqrt{2}} \right)
\end{aligned}$$

$$= \frac{1}{2^{n/2}} \sum_{x=0}^{2^n-1} |x\rangle$$

其中 $|x\rangle$ 表示所有可能的 n 比特态，这是一个均匀叠加态。

第二次应用 $H^{\otimes n}$ ：

$$\begin{aligned} H^{\otimes n} (H^{\otimes n} |0\rangle^{\otimes n}) &= H^{\otimes n} \left(\frac{1}{2^{n/2}} \sum_{x=0}^{2^n-1} |x\rangle \right) \\ &= \frac{1}{2^{n/2}} \sum_{x=0}^{2^n-1} H^{\otimes n} |x\rangle \end{aligned}$$

对于任意 n 比特态 $|x\rangle = |x_1 x_2 \cdots x_n\rangle$ ，其中 $x_i \in \{0, 1\}$ ，有：

$$H^{\otimes n} |x\rangle = \bigotimes_{i=1}^n H |x_i\rangle$$

当 $x_i = 0$ 时， $H|0\rangle = \frac{|0\rangle+|1\rangle}{\sqrt{2}}$ ；当 $x_i = 1$ 时， $H|1\rangle = \frac{|0\rangle-|1\rangle}{\sqrt{2}}$ 。

将这些代入求和式，展开后大部分项会相互抵消，最终结果为：

$$H^{\otimes n_b} (H^{\otimes n} |0\rangle^{\otimes n}) = |0\rangle^{\otimes n}$$

2.5.3 结论

对 n_b 比特全 0 寄存器连续应用两次 $H^{\otimes n}$ 门，系统会回到初始的全 0 态：

$$H^{\otimes n} \cdot H^{\otimes n} \cdot |0\rangle^{\otimes n} = |0\rangle^{\otimes n}$$

这表明 $H^{\otimes n}$ 是自逆的，即 $(H^{\otimes n})^2 = I^{\otimes n}$ ，其中 $I^{\otimes n}$ 是 n 比特的单位操作。

3 数值示例

我们将通过一个数值示例，逐步应用 HHL 算法。首先，我们将讨论如何实现受控-U 操作和辅助量子位的旋转。

3.1 编码方案

在本示例中，矩阵 A 和向量 \vec{b} 设定为：

$$A = \begin{pmatrix} 1 & -\frac{1}{3} \\ -\frac{1}{3} & 1 \end{pmatrix}$$

$$\vec{b} = \begin{pmatrix} 0 \\ 1 \end{pmatrix}$$

矩阵 A 的特征向量为 $\vec{u}_0 = \begin{pmatrix} \frac{-1}{\sqrt{2}} \\ \frac{-1}{\sqrt{2}} \end{pmatrix}$ 和 $\vec{u}_1 = \begin{pmatrix} \frac{-1}{\sqrt{2}} \\ \frac{1}{\sqrt{2}} \end{pmatrix}$ ，对应的特征值分别为 $\lambda_0 = \frac{2}{3}$ 和 $\lambda_1 = \frac{4}{3}$ 。

我们需要通过基编码将特征值编码到时钟量子比特形成的基中，且需要 2 个量子比特：将 λ_0 编码为 $|01\rangle$ ，将 λ_1 编码为 $|10\rangle$ ，以保持 $\lambda_1/\lambda_0 = 2$ 的比例。这意味着 $\tilde{\lambda}_0 = 1$ 、 $\tilde{\lambda}_1 = 2$ （即 $|\tilde{\lambda}_0\rangle = |01\rangle$ 、

$|\tilde{\lambda}_1\rangle = |10\rangle$), 通过 $n = 2$ (即 $N = 4$) 可实现完美编码。因此, 选择演化时间 $t = \frac{3\pi}{4}$ 以满足编码方案 $\tilde{\lambda}_j = N\lambda_j t/2\pi$ 。

由于 \vec{b} 是二维复向量, 可通过 1 个量子比特编码, 因此 $n_b = 1$ 。

线性系统问题的解为:

$$\vec{x} = \begin{pmatrix} \frac{3}{8} \\ \frac{9}{8} \end{pmatrix}$$

其中 $|x_0|^2$ 与 $|x_1|^2$ 的比例为 1:9。

3.2 受控-U 实现

实际中, 受控-U 操作需通过与 A 相同哈密顿量的物理系统实现。为理解算法, 我们推导 U 的矩阵形式并映射到 IBM-Q 中的 CU3 门。由于 $n = 2$, 需实现由 c_1 控制的 $U^{2^1} = U^2$ 和由 c_0 控制的 $U^{2^0} = U$ 。

为求解 $U^2 = e^{i2At}$ 和 $U = e^{iAt}$ 的矩阵, 需对 $i2At$ 和 iAt 进行相似变换, 指数化后再转换回原基。

从原基到特征向量基的变换矩阵为:

$$V = \begin{pmatrix} \vec{u}_0 & \vec{u}_1 \end{pmatrix} = \begin{pmatrix} \frac{-1}{\sqrt{2}} & \frac{-1}{\sqrt{2}} \\ \frac{-1}{\sqrt{2}} & \frac{1}{\sqrt{2}} \end{pmatrix}$$

由于 V 是实矩阵, 其厄米共轭 V^\dagger 等于自身。

A 在特征向量基下的对角化形式为:

$$A_{\text{diag}} = \begin{pmatrix} \frac{2}{3} & 0 \\ 0 & \frac{4}{3} \end{pmatrix}$$

因对角矩阵的指数化可直接对元素操作, 故:

$$U_{\text{diag}} = \begin{pmatrix} e^{i\lambda_0 t} & 0 \\ 0 & e^{i\lambda_1 t} \end{pmatrix} = \begin{pmatrix} e^{i\pi/2} & 0 \\ 0 & e^{i\pi} \end{pmatrix} = \begin{pmatrix} i & 0 \\ 0 & -1 \end{pmatrix}$$

$$U_{\text{diag}}^2 = \begin{pmatrix} -1 & 0 \\ 0 & 1 \end{pmatrix}$$

显然, 二者均为幺正矩阵, 满足量子操作要求。

通过相似变换可得到原基下的 U 和 U^2 :

$$U = VU_{\text{diag}}V^\dagger = \frac{1}{2} \begin{pmatrix} -1+i & 1+i \\ 1+i & -1+i \end{pmatrix}$$

$$U^2 = VU_{\text{diag}}^2V^\dagger = \begin{pmatrix} 0 & -1 \\ -1 & 0 \end{pmatrix}$$

选择 CU3 门实现 U 和 U^2 , 其形式为:

$$\text{CU3} = \begin{pmatrix} e^{i\gamma} \cos(\theta/2) & -e^{i(\gamma+\lambda)} \sin(\theta/2) \\ e^{i(\gamma+\phi)} \sin(\theta/2) & e^{i(\gamma+\phi+\lambda)} \cos(\theta/2) \end{pmatrix}$$

- 选择 $\theta = \pi$ 、 $\phi = \pi$ 、 $\lambda = 0$ 、 $\gamma = 0$ 可实现 U^2 ;

- 选择 $\theta = \pi/2$ 、 $\phi = -\pi/2$ 、 $\lambda = \pi/2$ 、 $\gamma = 3\pi/4$ 可实现 U 。

由于本示例中 $(U^2)^{-1} = U^2$ ，故可使用相同参数实现 $(U^2)^{-1}$ 。但：

$$U^{-1} = \frac{1}{2} \begin{pmatrix} -1-i & 1-i \\ 1-i & -1-i \end{pmatrix}$$

需选择 $\theta = \pi/2$ 、 $\phi = \pi/2$ 、 $\lambda = -\pi/2$ 、 $\gamma = -3\pi/4$ 实现 U^{-1} 。

受控矩阵 U' 的构造为：

$$C - U' = I \otimes |0\rangle\langle 0| + U' \otimes |1\rangle\langle 1|$$

注意，在这个等式中，为简单起见，仅包含了控制时钟位和 b-寄存器。例如，

$$\begin{aligned} C - U^{-1} &= \begin{pmatrix} 1 & 0 \\ 0 & 1 \end{pmatrix} \otimes \begin{pmatrix} 1 & 0 \\ 0 & 0 \end{pmatrix} + \frac{1}{2} \begin{pmatrix} -1-i & 1-i \\ 1-i & -1-i \end{pmatrix} \otimes \begin{pmatrix} 0 & 0 \\ 0 & 1 \end{pmatrix} \\ &= \begin{pmatrix} 1 & 0 & 0 & 0 \\ 0 & 0 & 0 & 0 \\ 0 & 0 & 1 & 0 \\ 0 & 0 & 0 & 0 \end{pmatrix} + \frac{1}{2} \begin{pmatrix} 0 & 0 & 0 & 0 \\ 0 & -1-i & 0 & 1-i \\ 0 & 0 & 0 & 0 \\ 0 & 1-i & 0 & -1-i \end{pmatrix} \\ &= \frac{1}{2} \begin{pmatrix} 2 & 0 & 0 & 0 \\ 0 & -1-i & 0 & 1-i \\ 0 & 0 & 2 & 0 \\ 0 & 1-i & 0 & -1-i \end{pmatrix} \end{aligned}$$

3.3 辅助量子比特的受控旋转实现

式 $|\Psi_5\rangle = \sum_{j=0}^{2^{n_b}-1} b_j |u_j\rangle |\tilde{\lambda}_j\rangle \left(\sqrt{1 - \frac{C^2}{\tilde{\lambda}_j^2}} |0\rangle_a + \frac{C}{\tilde{\lambda}_j} |1\rangle_a \right)$ 中辅助比特旋转后 $|0\rangle$ 和 $|1\rangle$ 的系数分别为 $\sqrt{1 - \frac{C^2}{\tilde{\lambda}_j^2}}$ 和 $\frac{C}{\tilde{\lambda}_j}$ ，其模平方和为 1，故 $C \leq \tilde{\lambda}_j$ 。由于最小 $\tilde{\lambda}_j = 1$ ，选择 $C = 1$ 以最大化测量到 $|1\rangle$ 的概率。

RY 门形式为：

$$RY(\theta) = \begin{pmatrix} \cos\left(\frac{\theta}{2}\right) & -\sin\left(\frac{\theta}{2}\right) \\ \sin\left(\frac{\theta}{2}\right) & \cos\left(\frac{\theta}{2}\right) \end{pmatrix}$$

其中 $\theta = 2 \arcsin\left(\frac{1}{\tilde{\lambda}_j}\right)$ 。

定义函数：

$$\theta(c) = \theta(c_1 c_0) = 2 \arcsin\left(\frac{1}{c}\right)$$

其中 c 为时钟量子比特的值， $c_1 c_0$ 为其二进制形式。

由于 $|\Psi_4\rangle = \sum_{j=0}^{2^{n_b}-1} b_j |u_j\rangle |\tilde{\lambda}_j\rangle |0\rangle_a$ 中仅 $|\tilde{\lambda}_j\rangle$ 有非零振幅，仅需对 $|c\rangle = |01\rangle$ 和 $|10\rangle$ 定义：

$$\theta(1) = \theta(01) = 2 \arcsin\left(\frac{1}{1}\right) = \pi$$

$$\theta(2) = \theta(10) = 2 \arcsin\left(\frac{1}{2}\right) = \frac{\pi}{3}$$

通过以下函数实现：

$$\theta(c) = \theta(c_1 c_0) = \frac{\pi}{3} c_1 + \pi c_0$$

受控旋转可表示为：

$$|1\rangle\langle 1| \otimes I \otimes RY\left(\frac{\pi}{3}\right) + |0\rangle\langle 0| \otimes I \otimes I + I \otimes |1\rangle\langle 1| \otimes RY(\pi) + I \otimes |0\rangle\langle 0| \otimes I$$

其中算子从左到右分别作用于量子比特 $|c_1\rangle$ 、 $|c_0\rangle$ 和 $|a\rangle$ 。

3.4 量子电路

基于数值示例构建的 HHL 电路如图 3 所示，下文将通过数值代入逐步解析该电路。

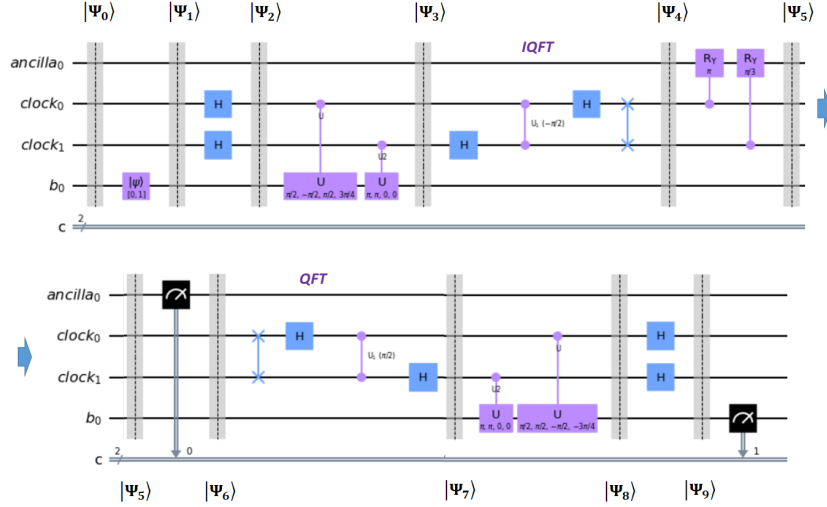


图 3: 本示例对应的 HHL 电路专为在 IBM-Q 上运行而构建，其划分方式与图 1 所示的通用 HHL 原理图相同。

3.5 数值代入

算法始于：

$$|\Psi_0\rangle = |0\rangle_b \otimes |00\rangle_c \otimes |0\rangle_a = |0000\rangle$$

施加 X 门（非门）将 $|0\rangle_b$ 转换为 $|1\rangle_b$ ：

$$|\Psi_1\rangle = X \otimes I \otimes I |\Psi_0\rangle = |1000\rangle$$

对时钟量子比特施加 Hadamard 门产生叠加态：

$$|\Psi_2\rangle = \frac{1}{2}(|1000\rangle + |1010\rangle + |1100\rangle + |1110\rangle)$$

转换到 A 的特征向量基（因 $|1\rangle = \frac{1}{\sqrt{2}}(-|u_0\rangle + |u_1\rangle)$ ，故 $b_0 = \frac{-1}{\sqrt{2}}$ 、 $b_1 = \frac{1}{\sqrt{2}}$ ）：

$$|\Psi_2\rangle = \frac{1}{2\sqrt{2}}(-(|u_0\rangle|000\rangle + |u_0\rangle|010\rangle + |u_0\rangle|100\rangle + |u_0\rangle|110\rangle) + |u_1\rangle|000\rangle + |u_1\rangle|010\rangle + |u_1\rangle|100\rangle + |u_1\rangle|110\rangle)$$

在受控旋转操作中，当对应时钟寄存器 (c-register) 处于状态 $|k\rangle_c$ 时，需为本征向量 $|u_j\rangle$ 添加相位变化 $\phi_j = \frac{k\lambda_j t}{2\pi}$ (即乘以相位因子 $e^{2\pi i \phi_j}$)。代入 $t = \frac{3\pi}{4}$ 、 $\lambda_0 = \frac{2}{3}$ 、 $\lambda_1 = \frac{4}{3}$ ：

$$\begin{aligned}
|\Psi_3\rangle &= \frac{1}{2\sqrt{2}} (-|u_000\rangle - e^{2\pi i \phi_0}|u_0010\rangle - e^{2\pi i 2\phi_0}|u_0100\rangle - e^{2\pi i 3\phi_0}|u_0110\rangle \\
&\quad + |u_1000\rangle + e^{2\pi i \phi_1}|u_1010\rangle + e^{2\pi i 2\phi_1}|u_1100\rangle + e^{2\pi i 3\phi_1}|u_1110\rangle) \\
&= \frac{1}{2\sqrt{2}} (-|u_000\rangle - e^{i\lambda_0 t}|u_0010\rangle - e^{i2\lambda_0 t}|u_0100\rangle - e^{i3\lambda_0 t}|u_0110\rangle \\
&\quad + |u_1000\rangle + e^{i\lambda_1 t}|u_1010\rangle + e^{i2\lambda_1 t}|u_1100\rangle + e^{i3\lambda_1 t}|u_1110\rangle) \\
&= \frac{1}{2\sqrt{2}} (-|u_000\rangle - e^{i\pi/2}|u_0010\rangle - e^{i\pi}|u_0100\rangle - e^{i3\pi/2}|u_0110\rangle \\
&\quad + |u_1000\rangle + e^{i\pi}|u_1010\rangle + e^{i2\pi}|u_1100\rangle + e^{i3\pi}|u_1110\rangle) \\
&= \frac{1}{2\sqrt{2}} (-|u_000\rangle - i|u_0010\rangle + |u_0100\rangle + i|u_0110\rangle \\
&\quad + |u_1000\rangle - |u_1010\rangle + |u_1100\rangle - |u_1110\rangle)
\end{aligned}$$

在应用逆量子傅里叶变换 (IQFT) 之前，为简化计算，先对 $|\Psi_3\rangle$ 的项进行重组，结果如下：

$$|\Psi_3\rangle = \frac{1}{2\sqrt{2}} ((-|u_0\rangle + |u_1\rangle)|00\rangle + (-i|u_0\rangle - |u_1\rangle)|01\rangle + (|u_0\rangle + |u_1\rangle)|10\rangle + (i|u_0\rangle - |u_1\rangle)|11\rangle)|0\rangle$$

接下来，对时钟寄存器 (c-register) 的量子态应用 IQFT。以 $|10\rangle$ 为例（其对应十进制数值为 2），计算过程如下：

$$\begin{aligned}
IQFT|10\rangle &= IQFT|2\rangle \\
&= \frac{1}{2^{2/2}} \sum_{y=0}^{2^2-1} e^{-2\pi i \cdot 2y/4}|y\rangle \\
&= \frac{1}{2} (|0\rangle - |1\rangle + |2\rangle - |3\rangle) \\
&= \frac{1}{2} (|00\rangle - |01\rangle + |10\rangle - |11\rangle)
\end{aligned}$$

同理，时钟寄存器其他基态经过 IQFT 后的结果为：

$$\begin{aligned}
IQFT|00\rangle &= \frac{1}{2} (|00\rangle + |01\rangle + |10\rangle + |11\rangle) \\
IQFT|01\rangle &= \frac{1}{2} (|00\rangle - i|01\rangle - |10\rangle + i|11\rangle) \\
IQFT|11\rangle &= \frac{1}{2} (|00\rangle + i|01\rangle - |10\rangle - i|11\rangle)
\end{aligned}$$

因此，将 IQFT 应用于 $|\Psi_3\rangle$ ，并代入上式，可得：

$$\begin{aligned}
|\Psi_4\rangle &= IQFT|\Psi_3\rangle \\
&= \frac{1}{4\sqrt{2}} \left((-|u_0\rangle + |u_1\rangle)(|00\rangle + |01\rangle + |10\rangle + |11\rangle) + \right. \\
&\quad (-i|u_0\rangle - |u_1\rangle)(|00\rangle - i|01\rangle - |10\rangle + i|11\rangle) + \\
&\quad (|u_0\rangle + |u_1\rangle)(|00\rangle - |01\rangle + |10\rangle - |11\rangle) + \\
&\quad \left. (i|u_0\rangle - |u_1\rangle)(|00\rangle + i|01\rangle - |10\rangle - i|11\rangle) \right) |0\rangle \\
&= \frac{1}{\sqrt{2}} (-|u_0\rangle|01\rangle + |u_1\rangle|10\rangle) |0\rangle
\end{aligned}$$

可以看出, 经过 IQFT 后, 由于相长干涉, 矩阵 A 的特征值仅在时钟寄存器处于 $|01\rangle$ 和 $|10\rangle$ 时具有非零振幅, 即特征值被编码到时钟寄存器中。其中, \vec{b} 在 A 本征向量基下的系数为 $b_0 = \frac{-1}{\sqrt{2}}$, $b_1 = \frac{1}{\sqrt{2}}$, 且能清晰观察到 b 寄存器与 c 寄存器之间的纠缠关系— $|u_0\rangle$ 与 $|01\rangle$ 关联, $|u_1\rangle$ 与 $|10\rangle$ 关联。

在执行辅助量子比特旋转操作后, 量子态表示为:

$$\begin{aligned} |\Psi_5\rangle &= \sum_{j=0}^{2^1-1} b_j |u_j\rangle |\tilde{\lambda}_j\rangle \left(\sqrt{1 - \frac{C^2}{\tilde{\lambda}_j^2}} |0\rangle + \frac{C}{\tilde{\lambda}_j} |1\rangle \right) \\ &= -\frac{1}{\sqrt{2}} |u_0\rangle |01\rangle \left(\sqrt{1 - \frac{1}{1^2}} |0\rangle + \frac{1}{1} |1\rangle \right) + \\ &\quad \frac{1}{\sqrt{2}} |u_1\rangle |10\rangle \left(\sqrt{1 - \frac{1}{2^2}} |0\rangle + \frac{1}{2} |1\rangle \right) \end{aligned}$$

若辅助比特测量结果为 $|1\rangle$:

$$|\Psi_6\rangle = \sqrt{\frac{8}{5}} \left(-\frac{1}{\sqrt{2}} |u_0\rangle |01\rangle |1\rangle + \frac{1}{2\sqrt{2}} |u_1\rangle |10\rangle |1\rangle \right)$$

将 QFT 应用于编码的特征值, 我们得到

$$\begin{aligned} \text{QFT}|10\rangle &= \text{QFT}|2\rangle \\ &= \frac{1}{2^{2/2}} \sum_{y=0}^{2^2-1} e^{2\pi i \cdot 2y/4} |y\rangle \\ &= \frac{1}{2} (|00\rangle - |01\rangle + |10\rangle - |11\rangle) \\ \text{QFT}|01\rangle &= \text{QFT}|1\rangle \\ &= \frac{1}{2} (|00\rangle + i|01\rangle - |10\rangle - i|11\rangle) \end{aligned}$$

因此, 对 $|\Psi_6\rangle$ 应用量子傅里叶变换 (QFT), 并代入上述公式, 我们得到

$$\begin{aligned} |\Psi_7\rangle &= \sqrt{\frac{8}{5}} \left(-\frac{1}{\sqrt{2}} |u_0\rangle \cdot \frac{1}{2} (|00\rangle + i|01\rangle - |10\rangle - i|11\rangle) |1\rangle + \right. \\ &\quad \left. \frac{1}{2\sqrt{2}} |u_1\rangle \cdot \frac{1}{2} (|00\rangle - |01\rangle + |10\rangle - |11\rangle) |1\rangle \right) \end{aligned}$$

对于受控旋转, 若 $c_0 = 1$ 和 $c_1 = 1$, 则量子态分别乘以 $e^{-i\lambda_j t}$ 和 $e^{-i2\lambda_j t}$ 。已知 $e^{-i\lambda_0 t} = -i$, $e^{-i2\lambda_0 t} = -1$, $e^{-i\lambda_1 t} = -1$, $e^{-i2\lambda_1 t} = 1$, 且 $\frac{Nt}{2\pi} = \frac{3}{2}$, 则量子态 $|\Psi_8\rangle$ 可表示为:

$$\begin{aligned} |\Psi_8\rangle &= \sqrt{\frac{8}{5}} \left[-\frac{1}{\sqrt{2}} |u_0\rangle \cdot \frac{1}{2} (|00\rangle + |01\rangle + |10\rangle + |11\rangle) |1\rangle \right. \\ &\quad \left. + \frac{1}{2\sqrt{2}} |u_1\rangle \cdot \frac{1}{2} (|00\rangle + |01\rangle + |10\rangle + |11\rangle) |1\rangle \right] \\ &= \frac{1}{2} \sqrt{\frac{8}{5}} \left(-\frac{1}{\sqrt{2}} |u_0\rangle + \frac{1}{2\sqrt{2}} |u_1\rangle \right) (|00\rangle + |01\rangle + |10\rangle + |11\rangle) |1\rangle \\ &= \frac{1}{2} \cdot \frac{2}{3} \sqrt{\frac{8}{5}} \left(-\frac{3}{2\sqrt{2}} |u_0\rangle + \frac{3}{4\sqrt{2}} |u_1\rangle \right) (|00\rangle + |01\rangle + |10\rangle + |11\rangle) |1\rangle \end{aligned}$$

最后，对时钟量子比特施加哈达玛门 (Hadamard gate)，我们有：

$$|\Psi_9\rangle = \frac{2}{3}\sqrt{\frac{8}{5}} \left(-\frac{1}{\frac{2}{3}\sqrt{2}}|u_0\rangle + \frac{1}{\frac{4}{3}\sqrt{2}}|u_1\rangle \right) |00\rangle |1\rangle \quad (63)$$

可以验证， $|\Psi_9\rangle$ 是一个归一化向量，理应如此，因为 HHL 电路中的每一个操作都是幺正的（酉操作），会保持范数（模长）不变。

通过将 $|u_0\rangle = \frac{1}{\sqrt{2}}|0\rangle + \frac{1}{\sqrt{2}}|1\rangle$ 和 $|u_1\rangle = \frac{1}{\sqrt{2}}|0\rangle - \frac{1}{\sqrt{2}}|1\rangle$ 代入式，可对其进行化简。化简后，我们得到：

$$|\Psi_9\rangle = \frac{1}{2}\sqrt{\frac{2}{5}} (|0\rangle + 3|1\rangle) |00\rangle |1\rangle \quad (64)$$

对 b 寄存器 (b-register) 进行测量时，测得 $|0\rangle$ 和 $|1\rangle$ 的概率比为 1 : 9，与预期一致。

3.6 H 门作用于 $|\Psi_8\rangle$ 生成 $|\Psi_9\rangle$ 的具体过程

3.6.1 初始态 $|\Psi_8\rangle$ 的表达式

施加 H 门前的量子态 $|\Psi_8\rangle$ 可表示为：

$$|\Psi_8\rangle = \underbrace{\frac{2}{3}\sqrt{\frac{8}{5}} \left(-\frac{1}{\frac{2}{3}\sqrt{2}}|u_0\rangle + \frac{1}{\frac{4}{3}\sqrt{2}}|u_1\rangle \right)}_{\text{系统部分}} \otimes \underbrace{(|00\rangle + |01\rangle + |10\rangle + |11\rangle)}_{\text{时钟量子比特 (2 量子比特)}} \otimes \underbrace{|1\rangle}_{\text{辅助量子比特}}$$

3.6.2 H 门对 2 量子比特系统的作用

H 门作用于时钟量子比特 (2 个量子比特)，其操作通过张量积实现：

$$H_{\text{总}} = H \otimes H = \frac{1}{\sqrt{2}} \begin{pmatrix} 1 & 1 \\ 1 & -1 \end{pmatrix} \otimes \frac{1}{\sqrt{2}} \begin{pmatrix} 1 & 1 \\ 1 & -1 \end{pmatrix} = \frac{1}{2} \begin{pmatrix} 1 & 1 & 1 & 1 \\ 1 & -1 & 1 & -1 \\ 1 & 1 & -1 & -1 \\ 1 & -1 & -1 & 1 \end{pmatrix}$$

对时钟量子比特基态的作用为：

$$\begin{aligned} H_{\text{总}}|00\rangle &= \frac{|00\rangle + |01\rangle + |10\rangle + |11\rangle}{2} \\ H_{\text{总}}|01\rangle &= \frac{|00\rangle - |01\rangle + |10\rangle - |11\rangle}{2} \\ H_{\text{总}}|10\rangle &= \frac{|00\rangle + |01\rangle - |10\rangle - |11\rangle}{2} \\ H_{\text{总}}|11\rangle &= \frac{|00\rangle - |01\rangle - |10\rangle + |11\rangle}{2} \end{aligned}$$

3.6.3 H 门作用于 $|\Psi_8\rangle$ 的时钟部分

对 $|\Psi_8\rangle$ 中的时钟量子比特施加 $H_{\text{总}}$ ：

$$\begin{aligned}
 H_{\text{总}}(|00\rangle + |01\rangle + |10\rangle + |11\rangle) &= H_{\text{总}}|00\rangle + H_{\text{总}}|01\rangle + H_{\text{总}}|10\rangle + H_{\text{总}}|11\rangle \\
 &= \frac{|00\rangle + |01\rangle + |10\rangle + |11\rangle}{2} + \frac{|00\rangle - |01\rangle + |10\rangle - |11\rangle}{2} \\
 &\quad + \frac{|00\rangle + |01\rangle - |10\rangle - |11\rangle}{2} + \frac{|00\rangle - |01\rangle - |10\rangle + |11\rangle}{2} \\
 &= 2|00\rangle \quad (\text{化简后})
 \end{aligned}$$

3.6.4 最终态 $|\Psi_9\rangle$ 的生成

系统部分和辅助量子比特不受 H 门影响，结合上述结果得到：

$$|\Psi_9\rangle = \frac{2}{3}\sqrt{\frac{8}{5}} \left(-\frac{1}{\frac{2}{3}\sqrt{2}}|u_0\rangle + \frac{1}{\frac{4}{3}\sqrt{2}}|u_1\rangle \right) \otimes |00\rangle \otimes |1\rangle$$